

Devices 告 材料特集

朴 昌 鑑 *

一、發光半導體素子

— 차례 —

1. 發光半導體素子
 2. EL가 관찰되는 物質
 3. 發光機構
 4. Gap發光 다이오드의 製法
 5. GaAs 赤外發光 다이오드의 製作
 6. GaAs_{1-x}P_x 混合結晶
 7. Ga_{1-x}Al_xAs 다이오드
 8. 參考文獻

1. 發光半導體素子

發光半導體로 사용하는材料는 主로 化合物半導體로 최근 注入型 發光 다이오드가 미소 전력으로 動作하고 수명이 길며 信賴性이 높다는 長點때문에 實用化가 급진전되었다. 이중 GaAs를 사용한 적외발광 다이오드는 비교적 일찍 부터 개발되어 各種 發光素子와 組合하여 利用되었고 더욱 기술의 개발로 GaP, GaAl_{1-x}As_x GaAs_xPx를 사용한 적외발광 다이오드를 중심으로 표시광원이나 수자, 문자 표시 소자로서 이미 양산화 단계를 이루워 다방면에 실용화가 이룩되고 있다. 또 최근 보다 많은 정보를 표시하기 위하여 적색이외 可視다이오드의 開發이 요망되고 Gap, SiC, NaN₃ 등의 녹색발의 실현이 주목되고 있다. 이와같이 전기에너지가 光에너지로 변환되는 것은 첫째 物質을 高溫으로 加熱할 때 그 物質에서 發生하는 热輻射로서 電球SiC에서 나오는 光이 이에 속하고 두째로 아아크放電, 그로우 放電을 利用한 영사기의 光源을 들 수 있고 세째 루미네센스로 음극 루미네센스(T.V의 부라운관의 형광막)와 광루미네센스(형광등) 및 EL 루미네센스 등이 있다. EL 루미네센스도 전기에너지를 광에너지로 直接변환 하므로 변환효율이 높은 것이 특징으로 여기서는 EL 루미네센스에 관해 논하기로 한다.

2. EL가 관찰되는 物質

EL에도 ZnS등에서와 같이 음극에서의 루미네센스(진성전계발광)와 p-n接合ダイオード의 注入型電界發光등이 있으나 여기서 우선 루미네센스가 관찰되는 物質을 열거하면 다음과 같다.

1) 單體半導體：Si, Ge

Ge, Si 다이어몬드 구조를 갖고 전도대의 극소점이 각각 공간의 [111] [100] 방향으로 벗어난 곳에 위치하고 이들의 發光效率 을 비교할 날은 결점이 있다.

2) II-VI 化合物半導體

ZnSe, ZnTe, CdTe 및 이의 混合結晶 이들의 結晶

*正會昌·延世大學校教授(工博)·當學會編修理事

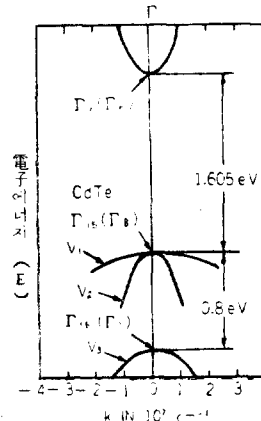


그림 1 CdTe의 0°K
에선의 양자장태

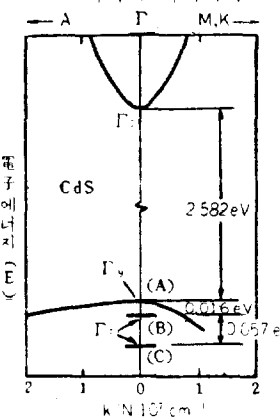


그림 2. CdS의 0°K에서의 E(k)

造는 閃亞鉛礦型으로 가
자대의 極大點과 傳導帶의
小點은 같은 k 로서 對向
는 직접친이형으로 CdTe
 $O^{\circ}K$ 에서 $E(k)$ 는 그림 1
같고 倆電子帶의 極大
에서 스팬이 큰 것이 특
이다.

또 CdS, CdSe, 및 이의
混合結晶 이는 어느 것이나
六方晶系로 울차이트型을
이루고 대역구조는 儘電子
帶의 極小가 對向해 있다.
CdS의 0°K에서 E(4)는 그
리 2와 같다.

3) IV-VI 化合物半導體

PbS, PbSe, PbTe 이는
Ⅶ족과 Ⅵ족원소로 이루
워진 化合物이며 Ⅲ-V 化
合物, Ⅱ-VI 化合物에 비
하여 比較的 큰 有極結晶
을 이룬다. PbTe의 E(*k*)
는 그림 3과 같다. 그림
에서 Ⅳ-VI 化合物은 에
너지 갭이 대단히 적은 것
인 특성을 지닌다.

4) III-IV 化合物半導體

GaN. GaP. GaSb. GaAs. InP. InSb. InAs. BN
AlP 및 이들의混合結晶.

III-V 化合物半導體는 結晶成長 기술이 진보하여 다
이오드로 사용된 것도 있다. III-V 化合物半導體는 III_b
족 元素의 Al, Ga, In와 Vb족 元素의 P, As, Sb와의
化合物를 어느 것이나 閃亞鉛鑄型의 結晶構造를 갖고

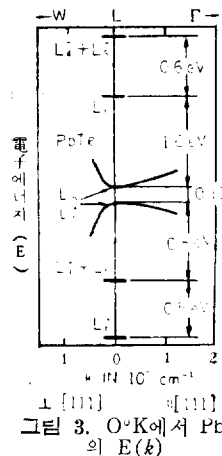
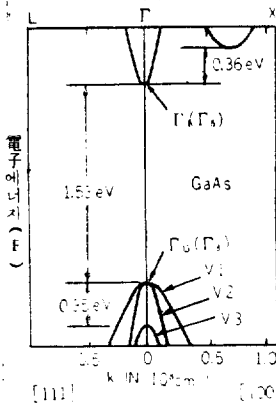
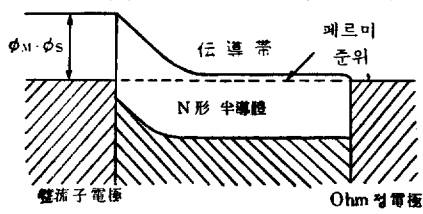
그림 3. 0°K 에서 PbTe의 $E(k)$ 그림 4. GaAs의 0°K 에서의 $[111]$ 방향과 $[100]$ 방향의 $E(k)$ 그림 5-(a) 平衡狀態
 ϕ_M : 金屬의 일함수
 ϕ_S : 半導體의 일함수

Figure 5(b) is a schematic diagram of a p-n junction diode under reverse bias. It shows an N-type semiconductor with an Ohm contact electrode, a metal electrode with work function ϕ_M , and a barrier potential $\phi_B(\phi_S)$. Arrows indicate electron flow from the metal into the N-type semiconductor.

그림 5. 整流性障壁을 갖는 金屬과 半導體의 接觸

와 같이 된다. 半導體表面이나 結晶內部에는 전자포획

共有結合성과 이온結合性을 갖고 있다. InSb, InAs, GaSb, InP, GaAs 이들 物質의 에너지대는 個電子帶의 極大와 傳導帶의 極小가 같은 k 로 對向하고 있다. GaAs의 $E(h)$ 는 그림 4와 같다.

GaP의 結晶構造는 GaAs와 같으나 에너지帶構造가 약간 다른 것으로 傳導帶의 極小點이 (100) 方向으로 벗어난 위치에 있는 것이 특징이다.

3. 發光機構

發光機構는 다음과 같이 3종류로 区別할 수 있다.

1) 衡突勵起發光

整流性 장벽이나 p-n 接合等을 역바이어스 할 때 생기는 發光으로 半導體側이 正, 金屬側이 負로 電界를 加했다면 장벽에 電界가 集中하여 높은 局部電界가 그림 5

이 있다. 표면준위의 電子는 텐넬效果에 依해 結晶內準位의 電子는 热的作用에 依해 極小數만이 傳導帶에 나타나 局部高電界에서 加速되어 그림 5B-①과 같이 個電子帶의 電子와 衝突하여 그림 5B-2와 같이 이를 傳導帶로 옮겨준다. 또 直接 發光中心과 衝突하여 그림 5B-3과 같이 여기된다. 한편 그림 B-2과정에서 個電子帶에 發生한 正孔은 發光中心에 잡혀서 이를 그림 5B-4와 같이 여기된다. 이와 같은 過程으로 勵起된 發光中心에 傳導帶의 電子가 뛰어 들어 갈 때 에너지差에 해당하는 波長의 光을 그림 B-5와 같이 放出한다.

n형 ZnSe인 경우 室溫이 약 6000\AA 빠 최고 값을 갖는 黄色 발광을 한다. 이런 型의 다이오드는 量子効率이 나쁜 결점이 있다.

2) 텐넬效果에 依한 注入

이는 小數케리어가 결연 닉이 있는 金屬電極으로 注入되는 것이다. 順方向으로 바이어스 시키면 半導體의 個電子帶에 있는 電子는 텐넬效果에 依해 金屬側에서 半導體中의 電子와 直接 또는 發光中心을 介在하여 再結合하여 發光한다. 텐넬效果에 依한 發光이므로 에너지 겸 보다 작은 공급전압으로 發光한다.

3) 注入型電界發光

p-n 接合發光 다이오드의 에너지圖는 그림 6-(a)와 같으며 여기에 순방향 바이어스를 결연 接合部의 電位障壁이 낮아 接合을 뛰어 넘어 P領域에 電子가 N領域에 正孔이 그림 6-(b)와 같이 注入된다. 이들 注入된 小數 케리어로 不安定한 높은 에너지 狀態이며 이

Figure 6(a) shows the energy band diagram of a p-n junction diode at $V=0$. It illustrates the N-type and P-type regions separated by a barrier potential E_B . Electrons from the N-side and holes from the P-side are shown crossing the barrier. Labels include $\Delta E_1 = \hbar v_1$ (emission), $\Delta E_2 = \hbar v_2$ (emission), acceptor level, and donor level.

그림 6-(a) $V=0$

Figure 6(b) shows the energy band diagram of a p-n junction diode at $V > 0$. It illustrates the N-type and P-type regions with a reduced barrier potential. Electrons from the N-side and holes from the P-side are shown crossing the barrier. Labels include Fermi level, conduction band, and valence band.

그림 6-(b) $V > 0$

그림 6. P-N 接合 다이오드의 순방향전압 공급시의 發光機構

(566)

注入領域에서 電子와 正孔은 再結合하여 소멸된다. 이 때 再結合의 一部가 光量子로 變換된다. 남아지 再結合은 格子振動이나 다른 電界에 에너지를 준다. 前者를 發光再結合 後者를 非發光再結合이라 한다. 電子의 천이에는 固體內 電子의 선택 법칙에 依해 천이 전후에서의 電子의 運動量은 保存되어야 하고 光의 운동량은 電子의 運動量에 比해 작으므로 무시할 수 있으므로 倆電子帶의 最大點과 傳導帶의 最小點이 같은 波長 빅터를 갖는 경우에는 천이에 따라 發光할 때는 운동량이 보존되어 放出率이 좋다. 이와 같은 천이를 그림 7-A로 나타낸다. 이에 反해 倆電子帶의 最大點과 傳導帶의 最小點의 k 값이 같지 않은 경우에는 正孔에 對해서

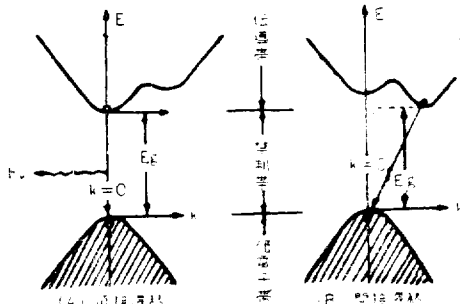


그림 7. 에너지 간의 구조와 광양자의 방출과정

傳導帶中 電子는 結晶內에서 운동량을 갖고 있기 때문에 電子는 천이 할 때 결정 내에서 운동량을 格子운동으로放出하여 운동량은 보존 되므로 그만큼 放出率은 낮고 또한 낮은 양자효율밖에 가질 수 없다. 그림 7-B와 같은 機構를 간접천이라 한다.

a) 發光再結合

發光再結合에도 真性半導體의 再結合, 不純物中心을 통한 再結合, 不純物濃度가 높을 때 도너 악셀터 對를 통한 再結合, 勵起子狀態의 再結合 등이 있다. 注入型電界發光다이오드에도 實用面으로 보면 GaAs등과 같이 작은 에너지 간을 갖고 赤外波長領域의 光을 내는 것과 GaP와 같이 큰 에너지 간을 갖는 可視波長의 光을 내는 것으로 大別할 수 있다.

GaAs는 實溫에서 에너지 간이 약 1.43eV 이기 때문에 약 8700\AA 의 적외선을 發光한다. 그러나 實用의 發光다이오드는 不純物準位가 發光에 關係되기 때문에 약 $8900\sim 9000\text{\AA}$ 인 波長의 光을放出한다. 이는 赤外線이므로 그 用途도 제한된 특수한 것이다. 이에 反하여 GaP는 300°K 에서 2.24eV 인 에너지 간을 갖는 유일한 톡색 (5600\AA) 發光이 가능하고 또 赤色發光을 하는 材料이다. GaP의 赤色發光은 p-n接合의 P층에 Zn과 산소를 첨가한 다이오드에서 생기며 p-n接合의 形

成에는 擴散法 및 에피택셜 成長法으로 이루워진다. n층중의 Zn 擴散에 依하여 比較的 效率이 높은 다이오드를 만들 수 있다. 發光效率이 높은 다이오드는 에피택셜 成長法으로 p-n 接合 形成時에 생기는 여러 가지 格子缺陷을 피할 수 있는 것으로 接合付近은 도나 악셀터濃度를 獨立으로 調整하는 效率높은 다이오드를 만들 수 있다. 액상 에피택셜法에 依한 室溫에서의 效率이 6%라는 Bell Lab의 보고가 있다.

4. Gap 發光다이오드의 製法

액상 에피택셜 成長인 경우 基板으로서 Ga 용액을 徐冷却으로 成長시킨 p形, Gap 結晶을 利用한다. Gap 용액에는 10wt%인 Gap 外에 여러 가지濃度를 갖는 Zn와 Ga₂O₃를 첨가하여 염어진 基板結晶의 特性은 室溫에서 正孔濃度 $3\sim 11 \times 10^{17}/\text{cm}^3$, 이동도 $10\sim 110\text{cm}_2/\text{V.Sec}$ 程度이다. 액상 에피택셜 成長에는 RCA의 Nelson^c 시작한 경사로를 사용한다. 경사로 중에 석 영판을 넣고 이속에 그림 8과 같이 흑연을 놓는다. 보트의 一端에는 基板結晶, 他端에는 GaP와 첨가하려는 n型 不純物 Te를 加한 Ga용액을 分離하여 둔다. 爐의 渦度 1100°C 가 되었을 때 爐를 反對側에 기울여 Ga용액을 基板結晶에 덮어서 천천히 냉각시킨다. 渦度

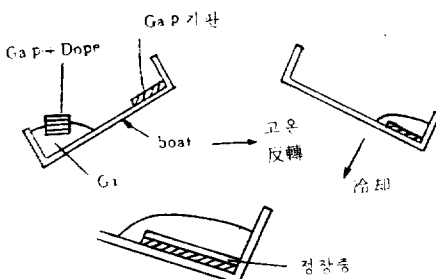


그림 8. Gap의 液相 epitaxial 成長

가 低下되면 Ga용액中의 GaP는 飽和되어 P型基板上에 n型層이 折出된다. 이와 같이 P-n GaP 다이오드를 만든다.

爐를 反對方向으로 기울이기 전에 爐의 渦度를 1100°C 로 20分間 둔다. 이는 Ga용액中에 첨가된 GaP 및 첨가체가 충분히 용해되어 飽和溶液을 만들 필요가 있기 때문이다. 高溫으로 保有할 동안 基板結晶의 表面特性이劣化되므로 劣化된 층을 제거 하므로서 發光效率을 높일 수 있고 再現性를 改善할 수 있다. Ga용액 中의 GaP를 약간 不飽和시켜 에피택셜 成長전에 基板을 어느정도 용해 시킨다. 이를 액상부식이라 한다. 이의 效果는 부식 깊이를 $10\mu, 50\mu$, 으로 할 때 50μ 인 경우의 發光強度 및 發光效率이 10μ 인 경우와 比較하여

보면 언제나 두배쯤된다. 基板結晶의 劣化를 調査하기 위하여 1100°C 로 30분 둔 結晶의 光刺激發光의 効率을 表面으로 부터의 깊이에 對하여 測定하려면 試料의 表面을 小角研磨하여 Ar^{+} 레이저로 4880Å인 光을 集束하여 試料面上을 走査한다. (111)p 面에는 極めて 發光効果는 $\frac{1}{2}$ 로 低下하여 劣化層의 두께는 $40\sim 50\mu$ 에 달한다. 한편 (111) Ga面에는 劣化가 比較的 적다. 極めて 온도, 極めて 시간을 可變했을 때의 特성을 調査하면 劣化의 原因은 Zn가 表面에서 外部로擴散하여 發光中心인 Zn-O 對의 濃度가 減少하기 때문이라고 생각한다. 따라서 n -on- p 구조의 에피택셜 성장인 경우에 Ga용액 中의 GaP濃度를 1100°C 에서의 饰和值에서 10% 減少시켜 Ga 용액을 덮어서 냉각開始 까지 충분히 액상을 부식시켜야 한다. 그림 9는 (111) Ga面 成長 때 Ga용액 중에 첨가하는 Ga_2O_3 의 量과 効率 η_{EL} 의 關係를 나타낸 것이다. 이 Ga_2O_3 의 첨가량에는 최적치가 있고 η_{EL} 는 不純物을 첨가하지 않은 경우 한자리數程度 크게 된다. P층, n층 中 不純物濃度와의 關係를 조사해 보면 최적의 Ga_2O_3 量은 基板의 Zn濃度의 증가 또는 成長層의 Te濃度의 減少와 더불어 증대된다. 發光効率은 發光强度 L 와 電流 J 와의 比例으로 이들 다이오드의 1.75V 때의 L 와 J 를 나타낸 것이 그림 10이다. 이 그림에서 發光効率 向上의 主要因은 L 임을 알 수 있다. 이는 發光領域이 P - n 接合에 접속한 P 층 이므로 n 층中의 산소濃度는 發光强度에는 영향이 미치지 않는다. 실제로 그림 11에서 表示한 바와 같이 基板中의 Zn의擴散速度가 크기 때문에 n 층의 成長過程으로 Zn가 成長層中에擴散되어 오기 때문이다. P - n 接合이 成長層中에서 注入된 電子

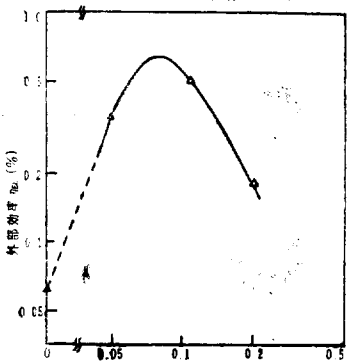


그림 9. Ga중의 Ga_2O_3 의 농도 ($\text{Mol}\%$) Ga 용액 중의 Ga_2O_3 농도와 다이오드의 효율 (Te 농도 $6.5 \times 10^{-3}\text{at}\%$ %)

와 더불어 증대된다. 發光効率은 發光强度 L 와 電流 J 와의 比例으로 이들 다이오드의 1.75V 때의 L 와 J 를 나타낸 것이 그림 10이다. 이 그림에서 發光効率 向上의 主要因은 L 임을 알 수 있다.

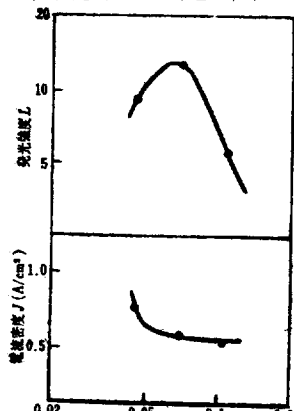


그림 10. 1.75V에서의 光强度 및 電流密度와 산소첨가량과의 관계

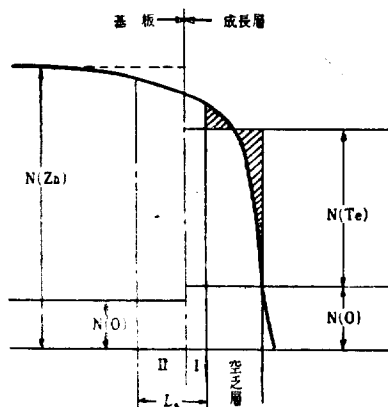


그림 11. 基板成長層과 不純物濃度의 分布

의擴散距離 L_n 와 같은 發光領域은 그림 11에서 基板中의 領域 II와 成長層中의 領域 I에 걸치게 된다. 산소를 첨가하지 않은 경우 領域 I中에는 發光center이形成되지 않으므로 發光强度 및 効率이 低下된다. Zn의擴散係數는 不純物濃度 依存性이 있어서 P領域에는 Zn濃度의 二乘에 比例하여 증대하나 n領域에서는 도나濃度의 二乘에 反比例하여 減少함을 알 수 있다. 따라서 관측되는 Zn, Te-O의 최적농도간의 關係는 P-n接合付近에 계단상의 Zn濃度分布를 만들고 Zn-O의 發光center濃度를 높이기 위한 條件이라 생각된다. 다음으로 基板結晶面의 영향을 조사하면 Ga 용액으로徐冷시켜 만든 GaP結晶은 (111)面이 發達한 板狀結晶으로 (111)面에도 Ga原子만이 表面에 있는 (111)Ga面과 P原子만이 있는 (111)P面의 두 종류가 있다. 이 두面上에 成長시켜 얻어지는 다이오드의 特性은 다르다고 예상할 수 있다. 그림 12는 에피택셜 성장때의 Te첨가량을 변화시켜 만든 여러 가지의 다이오드에 관하여 1.75V 때의 發光强度를 나타낸 것이다. 同時に 첨가하는 Ga_2O_3 의濃度는一定하게 한다. 發光强度를 最大로 하는 Te濃度는 Ga

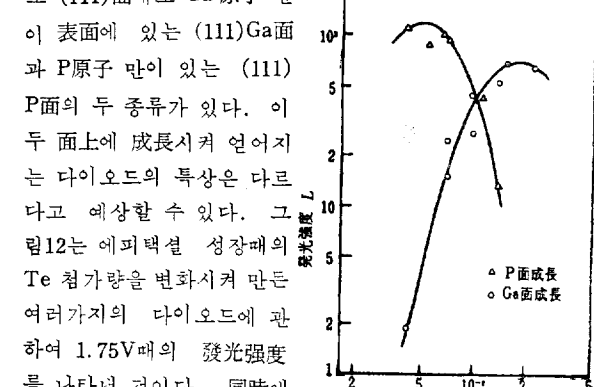


그림 12. 成長面上의 한 Te첨가량과 發光강도 (1.75V)의 变화의 차이

面成長의 경우에 P面成長에 比하여 약 두배로 크게 한다. 이結果는 P面成長의 경우 Te가 結晶格子에 쉽게 들어가는 것을 나타낸다. 最大發光强度의 값을

比較해 보면 P面成長의 다이오드가 Ga面成長의 것에 비하여 5할 정도 크다. 이들 다이오드의 용량을 비교하여 보면 Ga面成長의 경우 도나와 악셀터의 보상효과가 크고 이것이 發光効率에 영향을 미친다는 것을 알 수 있다. 위에서 논한 제조 조건의 개선에 대하여 外部効率 2.7%의 Gap赤外發光 다이오드를 만들 수 있다. 이 効率은 反射防止 피막없이 얻은 값으로 피막을 만들면서 効率을 높일 수 있다. 최적 제조조건을 조사하는 과정에는 現在試料에 對하여 効率을決定하는 요인을 찾고 이를 改善함이 타당한 것이라본다. 따라서 發光効率만이 아니고 시료특성의 평가 음미가 필요하다. Gap의 赤色發光의 경우 악셀터가 効率에 關係 되고 發光領域內의 發光中心濃度 N_R 은 直接 効率과 關係된다. 그림 13은 赤色發光 다이오드와 純色發光 다이오드의 室溫에서의 光電流 스펙트럼과 比較하였다. 光電流는 p-n 接合의 公共층과 이의 兩側의 小數케리어의擴散距離內에 光의 吸收에 依하여 만들

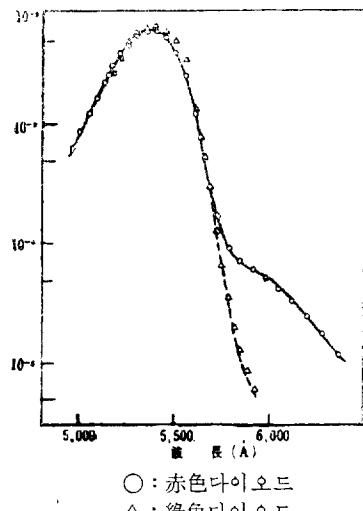


그림 13. 赤色 및 純色 발광 다이오드의 광전류 스펙트럼

이진 케리어에 依한 電流이다. P-n 接合面에 수직으로 入射되고 있으므로 吸收係數가 큰 光은 接合에 도달 않고 接合의 깊이가 吸收係數의 逆數로 된 波長으로 光電流가 最大로 된다. 이 最大인 長波長側에 赤色發光 발광다이오드인 경우에는 5900Å부근에서 나타나고 산소를 첨가 않은 純色 다이오드에서도 나타나지 않는다. 이, 屈는 發光center인 Zn-O 最近接對의 勵起에 依하여 생긴 액사이톤(exciton)이 热分解하여 생긴 自由電子에 依한 것이다.

5. GaAs 赤外發光 다이오드의 製作

GaAs 發光 다이오드의 제법은 Si, Ge 및 Gap에서 아는 바와 같이 擴散法과 액상 에피택셜法의 두 가지가 있다. 擴散法은 P型不純物의 Zn을 擴散하여 P-n接合을 만드는 方法으로 현재는 開管法이지만 開管法이 개발되면 量產에 좋은 方法이 될 것이다. 現在 사용되고 있는 方法으로는 Zn 以外의 不純物을 擴散하기에는 곤란하여 兩性不純物의 Si를 사용하는 方法이 發光効率을 좋게 하는 다이오드가 만들어 지기 때문에 다음의 액상 에피택셜法이 主로 사용된다. 액상 에피택셜法은 Ga 용액中에 多結晶 GaAs와 첨가되는 不純物(N型)을 만들려면 Te, Su등을, P型을 만들려면 Zn)을 小量加하여 950°C 전후의 高溫水素 분위기 中에서 GaAs 單結晶板을 덮어서 再結晶 시키는 方法이다. 여기서 不純物로서는 위에서 열거한 것 외에 IV족의 Si와 Ge가 GaAs에 대해서는 再性不純物로서 P型에도, N型에도 가능한 성질을 利用하여 높은 効率의 發光다이오드를 만들 수 있다. 즉 Si는 As壓이 높은 高溫에서는 Ga側에 들어가 도나로 作用하고 As壓이 낮은 低溫에서는 As側에 들어가 악셀터로서 作用하여 高溫에서 N型 GaAs를 成長시켜 그대로 温度를 降下시키므로 P型 GaAs가 그 위에 成長되므로 그 경계에 P-n接合을 만들 수 있다. 이와 같은 方法으로 만든 發光다이오드는 다음과 같은 특징이 있다. ① 基板結晶은 再結晶層이 成長되기 前에 그의 表面이 부식과 같은 効果가 기대되고 成長層은 缺陷이 적다. ② P-n 接合을 단 한번의 再結晶過程으로 만들기 때문에 平滑한 안정된 接合을 만들 수 있다. ③ 冷却速度의 制御로 안정된 不純物濃度分布를 얻을 수 있다. ④ Si를 不純物로 첨가 시키므로 平面型으로 2~3%의 높은 外部發光效果를 얻을 수 있고 그의 温度係數도 작다. 이 이유로서 Si를 不純物로 한 경우의 악셀터 준위는 약 0.06~0.10ev로서 Zn의 0.04ev 보다 깊다. 따라서 發光波長은 9400Å보다 長파장쪽으로 벗어나 GaAs의 基礎吸收波長의 영향을 받지는 않고 그 만큼吸收가 작게 되므로 發光効率이 좋게 됨과 同時 주위 온도의 영향도 작게 된다.

이와 같이 만든 發光 다이오드의 電壓電流特性은 그림14와 같다. 順方向 電流가 급격히 증가하려는 그때의 電壓은 0.95V전후로 1V에서의 順方向電流는 약 1mA이다. 또 順方向抵抗은 $If=50mA$ 로 $1\sim2\Omega$ 로 그림 15에 電流動抵抗特性을 나타낸다. 逆方向特性은 액상 에피택셜法 때문에 대단히 좋고 봉과 電壓은 20~30V이다.

最近 Si를 첨가한 GaAs 發光다이오드와 希土類螢光體를 이용하여 青, 緑, 赤의 可視光에 實用的인 밝기

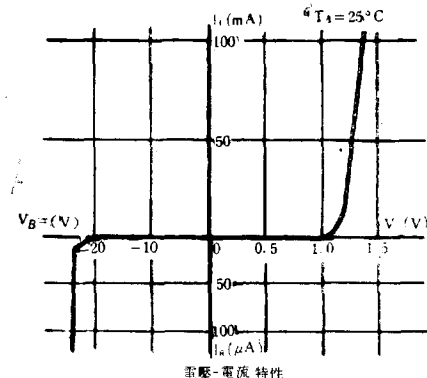


그림 14.

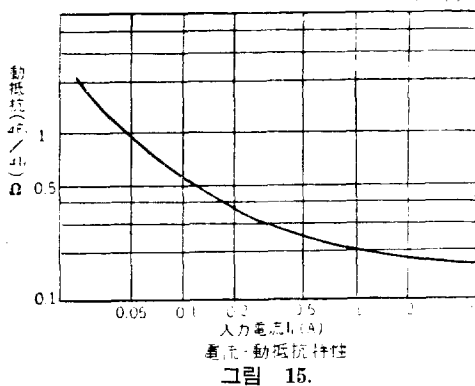
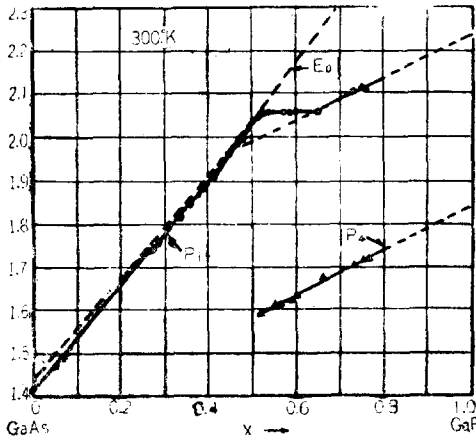
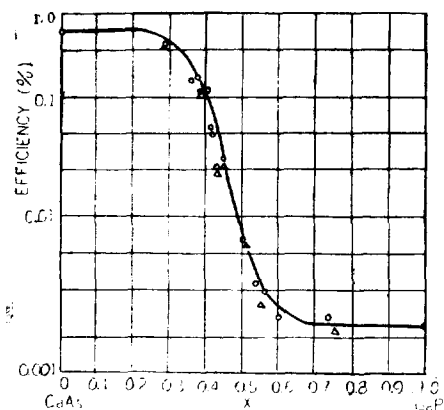
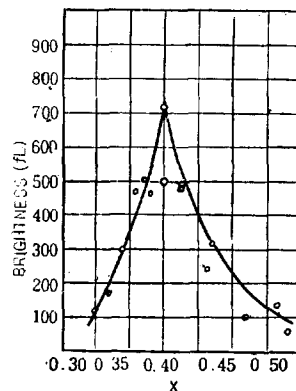


그림 15.

로 변환하는 것이 GE社 Bell 연구소 거리 같은 시기에 성공하였다.

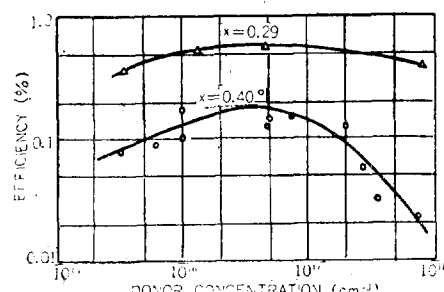
6. GaAs_{1-x}P_x 混合結晶

大型 GaAs 基板上에 氣相成長시켜 큰 面積의 GaAs_{1-x}P_x 單結晶을 再現性이 좋게 성장 시킬 수 있다. 混合結晶 ×××를 可變시킬 때 이에 對應하는 放出 光量子의 에너지도 위의로 변화시킬 수 있다. 에너

그림 16. 300°K에서의 GaAs_{1-x}P_x 다이오드의 発光 피크에서 구한 x와 에너지와의 관계그림 17. GaAs_{1-x}P_x 발광다이오드의 外部量子効率의 依存性그림 18. GaAs_{1-x}P_x 발광다이오드의 300°K에서의 휴도와 x와의 관계

지 帶 混合結晶 ×××는 그림 16에서와 같이 가시 발광 다이오드를 얻기 위해서는 $0.3 \leq x \leq 0.4$ 가 가장 좋고 약 6400A~7000A의 直接準이 發光을 한다.

300°K에서 外部量子効率의 溫度依存性은 그림 17과 같이 $x \geq 0.4$ 에서는 급격히 外部量子効率이 低下된다. 또 휴도와 x와의 관계는 그림 18과 같이 민감하게 0.38 ≤ x ≤ 0.4의 것이一般的으로 實用化되어 있는 P의 混合率이다. 外部量子効率은 그외에 도너 不純物 농도에 依해서도 영향을 받지만 그 依存性은 그림 19와 같이 비교적 적다.

그림 19. GaAs_{1-x}P_x 발광 다이오드의 외부양자효율의 도나 의존성 (p. 55 계속)